

رخساره‌های سنگی، محیط رسوی و تغییرات نسبی سطح آب در نهشته‌های نسبت داده شده به سازند لالون، برش باهمو، بلوک پشت بادام

محبوبه حسینی بروزی^{۱*} و نجمه اعتمادسعید^۱

^۱دانشگاه شهید بهشتی، دانشکده علوم زمین، گروه زمین‌شناسی، تهران، ایران.

تاریخ دریافت: ۱۳۸۷/۰۶/۲۵
تاریخ پذیرش: ۱۳۸۷/۱۲/۰۵

چکیده

به منظور شناخت محیط رسوی و بررسی تغییرات سطح آب، سازند لالون به سن کامبرین پیشین در برش باهمو به سمت بادام، مورد مطالعه قرار گرفت. مطالعات صحرایی، برداشت ۱۱۰ داده جریان دیرینه و بررسی سنگ‌شناسی، بررسی توسط میکروسکوپ الکترونی و تجزیه پراش اشعه ایکس نمونه‌های شیلی، منجر به تحلیل رخساره‌های تعیین جهت جریان دیرینه و تفسیر محیط رسوی در این سازند شد. تحلیل رخساره‌های سنگی حاکی از وجود ۵ رخساره سنگی سیلیسی آواری دانه درشت (Gm)، دانه متوسط (Sp, St, Sh) و یک رخساره کربناتی (دولومیتی) در این نهشته‌ها می‌باشد. رخساره‌های به دست آمده به همراه الگوی بایمداد دو قطبی و شواهد سنگ‌شناسی مانند وجود ماسه‌سنگ‌های گلوكونیت‌دار با بلوغ بافتی و ترکیبی بالا، نشان دهنده رسویگذاری این نهشته‌ها در محیط پهنه کشندی است. بررسی تغییرات نسبی سطح آب دریا در برش مورد مطالعه، حاکی از وجود دو توالي متمایز می‌باشد که با ناپیوستگی نوع اول (SB) محصور شده‌اند.

کلیدواژه‌ها: سازند لالون، رخساره سنگی، جهت جریان دیرینه، تغییرات نسبی سطح آب دریا.

E-mail: m_hosseini@sbu.ac.ir

*نویسنده مسئول: محبوبه حسینی بروزی

-۱ مقدمه

(Tucker, 1993, 2001) و در گل‌سنگ‌ها به بررسی شواهد صحرایی (Einsele, 2000; Tucker, 2001) کانی‌شناسی و ساختمان کانی‌های رسی (حاصل از تجزیه XRD و مطالعات (SEM) (Chamley, 1989; Weaver, 1989; Meunier, 2005) (ICP-MS) بر روی عناصری مانند بر (B) (Cotton et al., 2003; Kolodny et al., 2005) اشاره داشت. از طرف دیگر، بررسی تغییر در ژرفای محیط رسوی در زمان، می‌تواند منجر به تعبیر و تفسیر تغییرات سطح آب شود که به نوبه خود می‌تواند حاصل نوسانات جهانی سطح آب و فرایندهای زمین‌ساختی باشد (Coe, 2003).

مطالعه سازند لالون در برش باهمو، از راه شناسایی رخساره‌های سنگی بر پایه شکل هندسی، سنگ‌شناسی و ساختمان کانی‌های رسی (Selley, 1996) (Miall, 1996)، صورت گرفته است (شکل ۲). به منظور بررسی شکل و کدهای رخساره‌های (Orton and Reading, 1993) (Orton and Reading, 1993) (Miall, 1996)، صورت گرفته است (شکل ۲). به منظور بررسی شکل هندسی بدنۀ رسوی و سطوح ناپیوستگی در سازند یاد شده، منطقه‌ای به شعاع ۳۰ کیلومتر بازدید شد و ۲۰۰ نمونه از ستون چینه‌ای (به سمت برای ۵۵۰ متر) برداشت شد. بررسی‌های تکمیلی آزمایشگاهی با مطالعه ۱۷۰ مقطع نازک تهیه شده از نمونه‌های برداشتی توسط میکروسکوپ پلازما، به منظور تعیین شاخص‌های ترکیبی و بافتی در این رخساره‌های ناجام گرفت. مقاطع نازک با مخلوط آلیارین قرمز (Alizarin-Red Stain) و فری‌سیانید‌پتاسیم، به روش (Dickson, 1965) برای تشخیص سیمان‌های کلسیتی و دولومیتی و تعیین مقادیر آهن (Fe) در آنها، رنگ آمیزی شدند. ۳ نمونه شیلی به نمایندگی از بخش شیلی قسمت بالایی سازند (به سمت برای ۳۴ متر)، انتخاب شده و مورد بررسی قرار گرفتند (شکل ۲). تجزیه پراش اشعه ایکس نمونه‌های شیلی (XRD) در آزمایشگاه سازمان زمین‌شناسی کشور، مرکز تبریز، توسط دستگاه D500 Simense-Diffractometr صورت گرفت. روش آماده سازی نمونه‌ها شامل حذف کریبات با استفاده از اسید استیک (Grassman and Milet, 1961) (Kunze, 1965) (Mehra and Jackson, 1960) (Hardy and Tucker, 1988) (H₂O₂)، حذف آهن (Miall, 1996; Selley, 1996) (آزمایشگاهی)، تیمار اشباع اتلین گلیکول و تیمار حرارتی (۵۵۰ درجه سانتی گراد)، بر مبنای روش پیشنهادی (Einsele, 2000; Tucker, 2001)

سازند لالون از گسترده‌ترین سازندهای کامبرین پیشین در ایران و کشورهای همجوار است. (Assereto, 1963) برش الگوی این سازند را در دهکده لالون (البرز مرکزی) اندازه گیری و نام‌گذاری کرد. در این محل، سازند لالون از سه واحد ماسه‌سنگ زیرین (۴۹۸ m)، شیل با میان لایه‌هایی از ماسه‌سنگ (۳۵ m) و ماسه‌سنگ کوارتزیت رأسی (۵۰ m) تشکیل شده است (آقاباتی، ۱۳۸۵). لاسمی و امین رسولی (۱۳۸۲) (معادل سازند لالون) در خاور و جنوب خاور زرند (شمال باختری کرمان) انجام داده‌اند. برش مورد مطالعه از سازند لالون به سمت برای ۵۵۰ متر، در خاور روستای باهمو، ۶ کیلومتری جنوب باخته شهر بهاباد و در حد فاصل دو سازند باروت و میلا (شکل ۱) اندازه گیری شده است. بر پایه تقسیم‌بندی حوضه‌های رسوبی - ساختاری ایران، این برش بخشی از خرد قاره ایران مرکزی و بلوک پشت بادام به شمار می‌رود. این بلوک میان گسل پوشیده نایینی - کوهبنان در خاور و گسل پشت بادام در باخته واقع شده است. ویژگی اساسی بلوک پشت بادام، رخنمون‌های دگرگونی منسوب به پر کامبرین به همراه سنگ‌های آتش‌فشانی و مانگایی با خاستگاه کافتی، در ردیف‌های پر کامبرین پسین و کامبرین پیشین آن است. این طور به نظر می‌رسد که پدیده کافته شدن از ویژگی‌های این بلوک باشد (آقاباتی، ۱۳۸۵). مطالعه رخساره‌ها، محیط رسوی و تغییرات سطح آب در این برش می‌تواند در تفسیر جغرافیای دیرینه حوضه ایران مرکزی در زمان کامبرین پیشین مفید باشد.

-۲ روش مطالعه

در تفسیر محیط رسوی سنگ‌های سنگ‌های سیلیسی آواری، می‌توان از روش‌های متفاوتی استفاده کرد. برای مثال می‌توان در ماسه‌سنگ‌ها به بررسی رخساره‌های سنگی در طی مطالعات صحرایی و آزمایشگاهی (Potter and Pettijohn, 1975) (Einsele, 2000; Tucker, 2001) (جیران‌های دیرینه)،

وجود داشت، بر اساس رده‌بندی (Folk) (1974)، از نوع کنگلومرا تا کنگلومرا ماسه‌ای هستند که فضای بین پل‌ها را ذرات ماسه با گردش‌گی خوب پر می‌کنند (شکل ۴-۴).

رخساره ماسه‌سنگی با طبقه‌بندی مورب مسطح (Sp): این رخساره دارای طبقه‌بندی مورب مسطح موازی و گوشه‌ای است و بجز بخش‌های ابتدایی سازند، بیشتر به شکل

هندرسی فرشی و پیوسته مشاهده می‌شود (شکل ۴-۳C). این رخساره متوسط تا درشت دانه است. معمولاً این رخساره سنگی در اثر حرکت مگارپیلهای دو بعدی و با خط الرأس مستقیم تشکیل می‌شود (Tucker, 2001) و نشان دهنده سرعت پایین جریان آب است (Harms et al., 1982). از دیگر اشکال دیده شده در این ماسه‌سنگ‌ها، رخساره ماسه‌سنگی با طبقه‌بندی مورب درهم (Herringbone) است. این رخساره سنگی در حقیقت جزئی از رخساره ماسه‌سنگی (Sp) است و بیشتر در ماسه‌سنگ‌های متوسط تا درشت دانه و در سرتاسر برش مورد مطالعه دیده می‌شود (شکل ۴-۳D).

رخساره ماسه‌سنگی با طبقه‌بندی مورب عدسی (St): این رخساره در نهشته‌های سازند لالون در برش مورد مطالعه، بجز بخش‌های ابتدایی سازند، بیشتر به صورت لایه‌های ممتد فرشی، به فراوانی و در مقیاس‌های مختلف یافت می‌شود (شکل ۴-۳E). اندازه دانه‌ها در این رخساره از ماسه دانه متوسط تا خیلی درشت و گاه پل‌دار در تغییر است. این ساختار در اثر حرکت دونهای مارپیچی یا هلالی و یا ریپل‌های زبانه‌ای و تحت شرایط آشفته جریان آب تشکیل می‌شود (Tucker, 2001).

رخساره ماسه‌سنگی با طبقات موازی (Sh): این رخساره در برش مورد مطالعه به شکل پیوسته دیده می‌شود. مهم‌ترین ساختار رسوی در این رخساره، لایه‌بندی و لامیناسیون مسطح است (شکل ۴-۳F). این رخساره با توجه به اندازه دانه‌ها (ماسه متوسط تاریز) در سرعت‌های بالای جریان آب ایجاد شده است (Miall, 2000؛ Mousavi, 2006).

رخساره‌های ماسه‌سنگی نام برد شده، ویژگی‌های میکروسکوپی بسیار مشابهی را دارا هستند. طبق تقسیم‌بندی (Folk) (1980)، از نوع چرت آرنایت تا کوارتز آرنایت، با رسیدگی کانی شناسی بسیار بالا (شکل ۴-B) و بلوغ مچور تا سوپر مچور می‌باشد.

حضور فراوان دانه‌های گرد شده شکسته (شکل ۴-C و D)، از شواهد محیطی با انرژی بالا در زمان تشکیل این ماسه‌سنگ‌ها است. وجود گلوكوئیت‌های کروی شکل در اندازه ماسه، بر دریابی بودن آنها دلالت می‌کند (شکل ۴-E) (Selley, 1996).

مطالعات دیاژنزی بر روی این ماسه‌سنگ‌ها نشان داده‌اند که فرایندهای مرحله اثوزندر در این ماسه‌سنگ‌ها شامل: سیمانی شدن اولیه کلسیتی، فردگی فیزیکی، خوردگی دانه‌ها توسط سیمان کلسیتی و رنگ آمیزی شدن همایتی، فرایندهای مرحله مزوژنر شامل: فردگی شیمیایی، سیمانی شدن کوارتزی، دولومیتی شدن سیمان‌های کلسیتی،

دولومیتی شدن، آلیتی شدن فلذسپارها و رشد کوارتز، ایلیت و کلریت اتوژن و فرایندهای مرحله تلوژنر شامل: ایجاد شکستگی‌ها و پر شدن آنها توسط سیمان‌های کلسیتی و دگرسانی سیمان‌های اثر و مزوژنیکی می‌باشد (اعتمادسعید، ۱۳۸۷).

رخساره سیلتی و گلی دارای ویژلایه‌بندی (Fl): ذرات تشکیل دهنده این رخساره در اندازه سیلت و رس هستند. ساختار رسوی دیده شده در آنها بیشتر ریزلاهه‌بندی مسطح است (شکل ۴-G و H). این رخساره در سرعت‌های بسیار پایین جریان آب و در اثر رسویگذاری ذرات معلق به وجود می‌آید (Miall, 2000). رخساره سیلتی حاضر در سازند لالون در بالای برش مورد مطالعه، زیر یک سطح ناپیوستگی (فرسایشی) و همچنین در بالای دولومیت‌های قرار گرفته بر روی این سطح دیده می‌شوند. نمونه شیلی (۲) نمونه از زیر سطح ناپیوستگی و یک نمونه از بالای این سطح) توسط تجزیه پراش اشعه ایکس (XRD)، میکروسکوپ الکترونی (SEM) و EDX مورد مطالعه قرار گرفتند. نتایج به دست آمده از تجزیه پراش اشعه ایکس (XRD) حاکی از آن است که کانی رسی ایلیت، اصلی ترین سازنده این شیل‌ها است (شکل ۵). در کنار ایلیت، در صد بسیار کمی کانی

انجام شده است. در مطالعات میکروسکوپ الکترونی (SEM) شیل‌ها در دانشگاه تربیت مدرس، ابتدا نمونه‌ها توسط دستگاه Sputter Coater Socoos مدل Philips XL30 مورد لایه نشانی شدند و سپس توسط میکروسکوپ الکترونی مدل Energy Dispersive X-ray Microanalysis (EDX) (Acme) کشور کانادا توسط انجام تجزیه رئوشیمیابی تعیین عنصر بر (B) در آزمایشگاه ICP-MS مورد تجزیه قرار گرفتند. افزون بر این، ۱۱۰ جهت شیب و امتداد لایه‌بندی و لایه‌بندی مورب در مطالعات صحرایی Tucker (1993) قرائت شد (جدول ۱) و با استفاده از استریوگرام و روش پیشنهاد شده توسط مقدار شیب لایه‌بندی‌های مورب در زمان افقی بودن لایه‌ها محاسبه و به صورت نمودار گل سرخی رسم شد. ایستگاه‌های برداشت شیب و امتداد لایه‌بندی‌های مورب، در شکل ۲ نشان داده شده است. مطالعه تغییرات سطح آب در برش مورد مطالعه پس از بررسی رخساره‌ها و محیط رسوی آنها (Miall, 1997؛ Coe, 2003؛ Catuneanu, 2006) انجام گرفته است.

۳- یافته‌ها

۳-۱. چینه‌شناسی سازند لالون در برش مورد مطالعه

نهشته‌های سازند لالون در خاور روتاستی باهمو، ۶ کیلومتری شهر بهاباد، با استراتی ۵۵۰ متر، توسط لایه‌های کنگلومرا می‌باشند. این رخساره ماسه‌سنگ شروع می‌شوند (شکل ۴-۲A). قاعده‌این کنگلومراها تنها در دهکده جوزی در نزدیکی مقطع مورب مطالعه، به صورت مرز فرسایشی، بر روی دولومیت‌های نسبت داده شده به سازند باروت دیده می‌شود و در دیگر مکان‌ها توسط شاخه‌ای از گسل کوهبنان قطع شده است (شکل ۱). این کنگلومراها با ماسه‌سنگ‌های درشت دنبال شده و در بخش‌های بالایی به تناوب ماسه‌سنگ - سیلتستون و ماسه‌سنگ - شیل می‌رسند. در میان تناوب شیل و ماسه‌سنگ و بر روی یک سطح ناپیوسته (فرسایشی)، چند افق دولومیتی نهشته شده است که بر روی دولومیت‌های یاد شده دوباره لایه‌های شیلی تکرار می‌شوند (شکل ۲-B و C). کوارتزیت سفید رنگ رأس سازند لالون در این ناحیه با لایه کنگلومرا می‌شروع و مرز آن با سنگ آهک‌های نسبت داده شده به سازند ناپیوسته بوده و توسط یک افق خاک قدیمی از یکدیگر متمایز می‌شوند (شکل ۲-B و D). لازم به یادآوری است که بنا به نظر لاسمی و امین رسوی (۱۳۸۵)، مرز ناپیوسته در روی واحد کوارتزیت رأسی ارزش جهانی دارد و به گمان قوی، مرز کامبرین پیشین و میانی در ایران است.

۳-۲. رخساره‌های سنگی

مطالعه سنگ‌های سازند لالون در برش باهمو، منجر به شناسایی ۵ رخساره سنگی سیلیسی آواری و یک رخساره کربناتی (شکل ۲) به شرح زیر است:

رخساره گروالی دانه پشتیبان توده‌ای (Gm): این رخساره سنگی به صورت چند لایه با سطح زیرین فرسایشی و شکل هندسی کانالی در بخش‌های آغازین برش مورد مطالعه و یک لایه ممتد و سبز، با شکل هندسی فرسایشی (Blanket) در بخش‌های انتهایی مقطع و در زیر کوارتزیت سفید رنگ دیده می‌شود (شکل ۳-A و B). این کنگلومراها از نوع الیگومیکتیک با پل‌هایی از نوع چرت بوده که از جورشدگی و گردش‌گی خوبی برخوردار هستند. هیچ گونه آثاری از جهت یافته‌گی (ایمبریکاسیون) یا روندهای ریز شوندگی و درشت شوندگی در پل‌ها دیده نمی‌شود. این کنگلومراها رسوبگذاری در محیطی پر انرژی، توسط جریان‌های کششی سریع را نشان می‌دهند (Reading and Collinson, 1996). بر اساس رده‌بندی (Pettijohn, 1975)، رخساره یاد شده در نمونه دستی به صورت کنگلومراهای خارج سازنده با قطعات خوب گرد شده و خوب جور شده، ارتوکنگلومرا و الیگومیکتیک با پل‌های چرتی است. در مطالعه میکروسکوپی نمونه‌های مورب نظر (در مواردی که امکان تهیه برش نازک

(Herringbone stratification) در بخش‌های ابتدایی سازند لالون در برش مورد مطالعه، حاکی از رسوبگذاری در یک کاتال یا مدخل پنهان کشندی است (Johnson and Baldwin, 1996; Einsele, 2000). این کنگلومراها دارای دانه‌های جور شده و گردشده با کرویت پایین بوده و همچنین فضای بین دانه‌های گراویلی را ماسه‌های بسیار خوب جور شده و گردشده پر نموده است که حاکی از دریابی بودن این کنگلومراها است (موسی‌حرمی، ۱۳۸۶؛ Einsele, 2000).

بر روی کانال‌های کشنده، حضور ماسه‌سنگ‌های ستر و یکنواخت، با گسترش جانبی قابل توجه، رسیدگی کانی شناسی بالا و رسیدگی بافتی تقریباً "بالا تا خیلی بالا" شواهد سنگ‌شناسی ویژه (حضور گلوکونیت و دانه‌های گردشکشته شده) و ساختارهای رسوبی دو جهت، نشان دهنده حالت پایدار و ثابت خط ساحلی در زمان طولانی و رسوبگذاری در یک پهنه ماسه‌ای (Sand Flat) است (Selley, 1996; Tucker, 2001).

تناوب لامینه‌های مسطح ماسه‌سنگ‌های رسیز و درشت در این بخش، از دیگر شواهد ساحلی بودن آنها است (Lobo and Osbrone, 1976). حضور لایه‌بندی‌های مورب در هم و لایه‌بندی مورب تراف نیز می‌تواند ناشی از رسوبگذاری در شرایط پر انرژی بخش بالایی محیط ساحل در این ماسه‌سنگ‌ها باشد (Reinson, 1984; Reading and Reinson, 1984; Reading and). حضور پل‌های شیلی در میان این ماسه‌سنگ‌ها حاکی از یک فاز پایین آمدن سطح آب دریا (پس از بالا رفتن آن و تشکیل لایه‌های نازک شیلی) است که در نتیجه بخش‌های مربوط به فلات قاره یا از آب بیرون آمده و یا در درون آب دچار فرسایش و کندگی و بریدگی می‌شوند و مواد حاصل از آن در درون حوضه با ماسه‌های در حال تشکیل مخلوط می‌شوند (Haq, 1991).

نهشته‌های شیلی با رنگ‌های سرخ و سبز، با گسترش جانبی زیاد و هندسه صفحه‌ای، محصور شده در بین نهشته‌های دریابی به همراه میان لایه‌های سیلتستونی در بخش‌های بالایی سازند در منطقه مورد مطالعه، نشان دهنده نهشت طی کاهش انرژی مکانیکی محیط، در ناحیه مخلوط پهنه کشندی (Mixed Flat) و پهنه گلی (Mud Flat) می‌باشد (Reading, 1996). رنگ سرخ شیل‌ها در اثر وجود آهن در آنها است. افزون بر این که رنگ سبز شیل‌ها در بسیاری از موارد در گل‌سنگ‌هایی که در ابتدای سرخ بوده و همایت موجود در آنها در اثر مهارت آب‌های درون حفره‌ای احیا شده است، به وجود می‌آید (Tucker, 2001). نتایج به دست آمده از تجزیه عنصر بر (B) نیز حاکی از دریابی بودن این شیل‌ها است.

به نظر می‌رسد ناپیوستگی دیده شده در بالای برش مورد مطالعه از سازند لالون، یک ناپیوستگی محلی در اثر حرکات زمین ساختی گسل کوهبنان باشد. از شواهد این ناپیوستگی، مشاهده سطح فرسایشی است (شکل ۲-۲). بدین‌گاه شیل‌های در مقیاس محلی (ناحیه‌ای)، توقف در رسوبگذاری در مناطق دیگر از برونزدهای این سازند در ایران مرکزی مانند زرند کرمان (موسی‌حرمی و همکاران، ۱۳۸۷) و البرز (حسینی‌برزی، ۱۳۷۵؛ لاسمی و امین رسولی، ۱۳۸۲؛ حسینی‌طباطبایی، ۱۳۸۷) دیده نمی‌شود. بدین ترتیب به نظر می‌رسد این سطح حاصل توقف کوتاه مدت در رسوبگذاری بوده (diastem) و هیاتوس (hiatus) به شمار نمی‌رود. شباهت کانی شناسی شیل‌های واقع در بالا و پایین این سطح ناپیوسته، خود شاهد دیگری بر کوتاه مدت بودن این واقعه است.

حضور دولومیت‌های ریز بلور (> ۲۰ میکرون) اولیه مربوط به محیط فرآکشندی بر روی این سطح ناپیوستگی (سطح فرسایشی)، نشان دهنده کاهش ژرفای حوضه رسوبی است. در ادامه و بر روی این دولومیت‌ها، دوباره شیل‌های ساحلی قرار می‌گیرند.

در کنگلومرا قاعده کوارتیت سفید رنگ نیز همانند کنگلومراها ابتدای سازند، شواهدی مانند دانه‌های با کرویت پایین که جور شدگی و گردشده‌گی خوبی وجود کوچک و بزرگ مقیاس از نوع تراف و لایه‌بندی‌های مورب درهم

رسی کلریت نیز در یک نمونه گزارش شده است. از اجزای غیررسی این شیل‌ها می‌توان به کوارتز (SiO_2)، دیاسپور ((AlO(OH))), کلسیت (CaCO_3)، آناتاز (TiO_2) و هماتیت (Fe_2O_3)شاره کرد. مطالعه میکروسکوپ الکترونی (SEM) نمونه‌های شیلی، نشان داده که صرف نظر از رس‌های آواری، تنها ساختار دیاژنزی، کانی رسی کلریت است که با تجزیه EDX، بر اساس فراوانی عناصر شیمیایی خاص در ساختار این رس، تأیید می‌شود (شکل ۶). مشاهده ساختار کانی رسی کلریت، می‌تواند نشان دهنده منشأ دیاژنزی برای این رس در شیل‌های مورد مطالعه باشد. عدم مشاهده ساختار کانی رسی ایلیت (اصلی ترین رس سازنده این شیل‌ها) در تصاویر SEM نشان دهنده منشأ آواری یا موروثی این رس است. حضور همزمان کلریت با منشأ دیاژنزی به همراه ایلیت با منشأ آواری می‌تواند نشان دهنده تبدیل ایلیت به کلریت طی دیاژنز در این شیل‌ها باشد (Meunier, 2005).

غلط با لایی عنصر بر (B) در آب دریا در برابر غلط کم آن در آب شیرین (کمتر از ۱۰ ppm؛ حدود ۱۰ ppm)، از شواهد تعیین محیط رسوبی دیرین در نهشته‌های گلستانگی است (Kolodny et al., 2005). ۲ نمونه شیلی (در بالا و پایین سطح ناپیوستگی) برای تعیین میزان عنصر بر مورد تجزیه قرار گرفتند. میزان این عنصر در هر دو نمونه شیلی، ۲۰ ppm (در محدوده آب‌های دریابی) (Kolodny et al., 2005) است که بر دریابی بودن این شیل‌ها دلالت دارد.

یکنواختی ویژگی‌های کانی شناسی در شیل‌های بالا و پایین سطح فرسایشی، حاکی از آن است که برغم بیرون آمدن حوضه از آب طی یک حرکت زمین ساختی محلی (یا به احتمال ناحیه‌ای)، محیط رسوبی در بالا و پایین سطح ناپیوستگی برای تعیین میزان عنصر بر مورد تجزیه قرار گرفتند. میزان این عنصر در آن دلایل است که با نهشت دولومیت شروع و به شرایط اولیه خود بازگشته است.

Roxasare دولومیتی: این رخساره کربناتی به صورت لاشه‌ای سبز موردنیست، بر روی یک سطح فرسایشی، در میان شیل و ماسه‌سنگ‌هایی در بالا و پایین سطح برابر با نهشت شیل‌ها یکنواخت بوده و در واقع پس از خروج از آب یک بار دیگر به زیر آب فرورفته که با نهشت دولومیت شروع و به شرایط اولیه خود بازگشته است.

roxasare دولومیتی: این رخساره کربناتی به صورت لاشه‌ای سبز موردنیست، بر روی یک سطح فرسایشی، در میان شیل و ماسه‌سنگ‌هایی در بالا و پایین سطح برابر با نهشت شیل‌ها دلالت دارد (شکل ۳-۱). مطالعه میکروسکوپی این دولومیت‌ها نشان دهنده بلورهای خیلی ریز تریز (> ۲۰ میکرون) با مرزهای مسطح نیمه شکل دار است (شکل ۳-۴) که می‌تواند حاکی از تشکیل در دمای پایین و به احتمال در ناحیه بالای پهنه کشندی باشد (Sibley and Gregg, 1987). این دولومیت‌ها طی رنگ آمیزی با آلیزارین سرخ و فروسیانید پتاسیم، ترکیب دولومیت آهن دار را نشان می‌دهند. حضور مواد آلی یا نشت گاز مانند دار از منطقه فرآکشندی می‌تواند از دلایل آهن‌دار شدن این دولومیت‌های اولیه باشد.

۳. تحلیل جریان دیرینه

نتایج به دست آمده از رسم نمودار گل سرخی به منظور تعیین جهت جریان دیرینه در برش مورد مطالعه، پس از اعمال چرخش میکروپلیت ایران مرکزی از زمان تریاس به اندازه ۱۳۵ درجه در خلاف جهت عقربه‌های ساعت (Schmidt and Soffel, 1983) جهت جریانی با الگوی بایمداد دوقطبی، به صورت شمال باخته - جنوب خاور را برای برش مورد مطالعه از سازند لالون نشان می‌دهد (شکل ۷). بدین ترتیب به نظر می‌رسد که خط ساحلی در زمان نهشت سازند لالون در منطقه مورد مطالعه دارای امتداد شمال خاور - جنوب باخته بوده است.

۴- بحث

با توجه به بررسی رخساره‌های سنگی و تحلیل جهت جریان دیرینه، با استناد به شواهد زیر، نهشته‌های مورد مطالعه به محیط رسوبی پهنه کشندی نسبت داده می‌شوند (شکل ۲ و ۸). این شواهد عبارتند از:

وجود کنگلومرا و یا ماسه‌سنگ‌های درشت دانه با ساختار کانالی، لایه‌بندی‌های مورب کوچک و بزرگ مقیاس از نوع تراف و لایه‌بندی‌های مورب درهم

۱-۱. تغییرات نسبی سطح آب

دو توالی جدا از هم در نهشته‌های سازند لالون در برش باهمو تشخیص داده می‌شوند که مرز بالا و پایین هر دو توالی به سطح ناپیوستگی نوع اول (SB) محدود می‌شود (شکل ۹). توالی اول که با سطح فرسایشی بین دو سازند لالون و باروت شروع می‌شود (فرسایش پیش از سازند لالون)، شامل دست کم سه چرخه جدا از هم است. در ارتباط با این سطح ناپیوستگی می‌توان به عقیده آقانباتی (۱۳۸۵) اشاره داشت که وجود افق‌های کنگلومراهای یا نزدیکی سازند لالون با ردیف‌های کهن‌تر از سازند زاگون (در پاره‌ای از نقاط ایران مانند منطقه پشت بادام، کرمان و ...)، وجود یک فاز زمین‌ساختی ضعیف را در فاصله میان رسویگذاری سازندهای زاگون و لالون مشخص می‌کند (غاز زمین‌ساختی زریگانین) که با یک مرحله خروج از آب در مناطق یاد شده و یک فاز فرسایش قاره‌ای نابرابر در مناطق مختلف همراه بوده است. چرخه اول از توالی اول از نهشته‌های پنهانه ماسه‌ای (Sand Flat) (شروع و با نهشته‌های زاگون (در پاره‌ای از نقاط ایران مانند منطقه پشت بادام، کرمان و ...)، وجود یک پهنه مخلوط (Mixed Flat) (پایان می‌باشد. چرخه دوم و سوم توالی اول، هر یک تا نهشته‌های پهنه‌گلی (Mud Flat) (ادامه پیدا می‌کند. این توالی با یک واقعه محلی (local) مانند حرکات زمین‌ساختی، به یک سطح فرسایشی ختم می‌شود. برغم وجود سطح فرسایش در این افق، به نظر می‌رسد توقف رسویگذاری در این موقعیت چندان به طول نیاجماید (diastem) و رسویگذاری دولومیت‌های فراکشنی (سوپراتایدال) در پهنه‌گلی بر روی این سطح ادامه یافته است. نهشت ماسه‌سنگ‌های سرخ رنگ کوارتز آرنايتی بسیار خوب جوشده و به طور کامل شسته شده با سیمان همایتی که بر روی آن لایه کنگلومراهای چرتی) و فاقد گل و سپس ماسه‌سنگ‌های سفید رنگ کوارتزیت راسی با جوشدگی و رسیدگی بافتی بالا و سیمان کوارتزی قرار گرفته‌اند، در مجموع نشان دهنده نوسان نسبی سطح آب در توالی دوم می‌باشد. به نظر می‌رسد، چرخه‌های دوم و سوم از توالی اول، ناپیوستگی بین دو توالی و نوسانات نسبی سطح آب در توالی دوم همگی حاصل حرکت قائم کف حوضه بوده باشد. مرز بالایی این توالی منطقه با ناپیوستگی نوع اول (SB) بوده و با افق خاک دیرین میان ماسه‌سنگ‌های کوارتزیتی سفید رنگ و سازند میلا مشخص می‌شود. بر این اساس نهشت سازند لالون در برش باهمو تحت تأثیر نوسانات پی در پی و در نهایت بالا آمدن نسبی سطح آب در انتهای کامبرین پیشین صورت گرفته است.

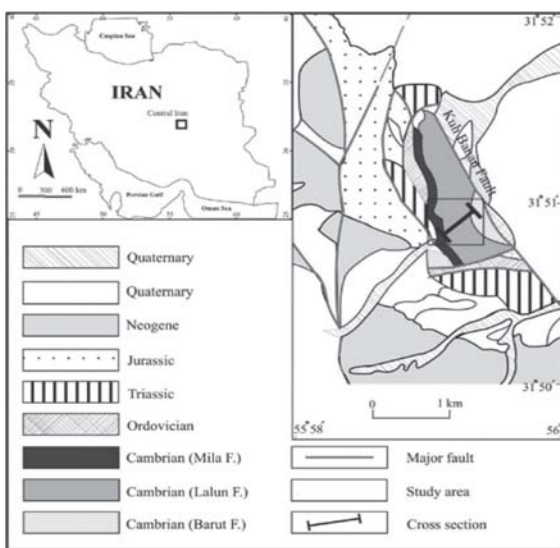
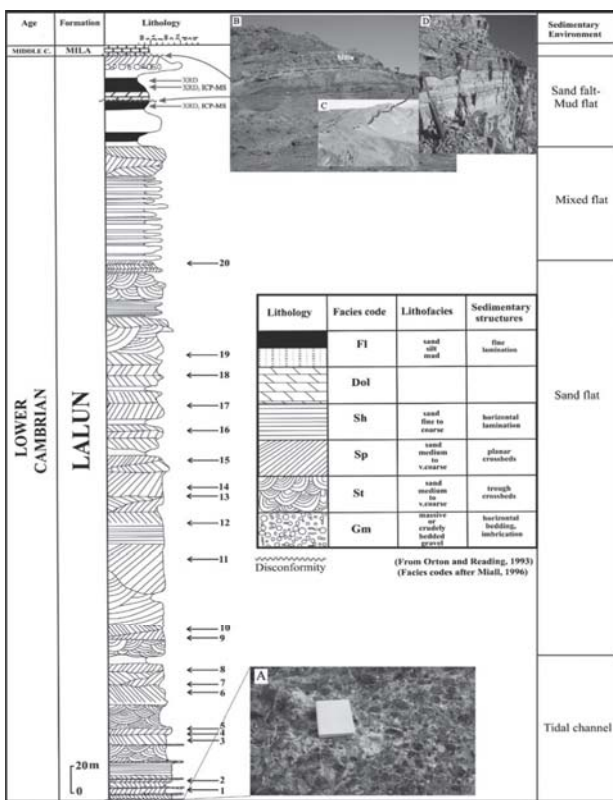
۵- نتیجه‌گیری

- سازند لالون در برش باهمو واقع در بلوک پشت بادام، متشکل از ۵۵۰ متر توالی نهشت ماسه‌سنگی، سیلتستونی، کنگلومراهی، شیلی و دولومیتی می‌باشد.
- شروع سازند لالون در این منطقه همراه با فاز فرسایشی و افق‌های کنگلومراهی و پایان آن با ناپیوستگی فرسایشی از نوع افق خاک دیرین با سازند میلا است. افزون بر این که یک سطح ناپیوستگی (فرسایشی) نیز در میان لایه‌های شیلی بالای این سازند دیده می‌شود که به نظر می‌رسد یک ناپیوستگی محلی در اثر حرکات زمین‌ساختی گسل کوهبنان بوده و نهشت سازند لالون را برای مدت کوتاهی قطع نموده است.
- تحلیل رخساره‌های سنگی نهشت‌های نسبت داده شده به سازند لالون، در برش باهمو منجر به شناسایی ۵ رخساره سیلیسی-آواری دانه درشت (Gm)، دانه متوسط (Sp, St, Sh) و دانه ریز (Fl) و یک رخساره کربناتی (دولومیتی) شده است.
- مطالعه بر روی جهت رخساره‌های سنگی نهشت‌های در زمان نهشت سازند لالون، در منطقه مورد مطالعه با برداشت ۱۱۰ جهت شب و امتداد لایبندی و لایبندی مورب، نشان دهنده الگوی بایمداد دوقطبی و جهت خط ساحلی در امتداد شمال خاور - جنوب باخته می‌باشد.
- با توجه به درکنار هم قرار دادن شواهد به دست آمده از مطالعه رخساره‌های سنگی،

دارند و ماسه‌های بسیار خوب جوشده و گرد شده که فضای بین دانه‌های گروالی را پر می‌کنند، دیده می‌شود. با در نظر گرفتن این شواهد و با توجه به هندسه‌فرشی و گسترش جانبی زیاد این کنگلومرا، ساحلی بودن آن پیشنهاد می‌شود (Einsle, 2000). با کم ژرفای شدن دوباره حوضه، بر روی این بخش کنگلومراهای دریایی و ماسه‌سنگ‌های سفید رنگ کوارتز آرنايتی با جوشده و رسیدگی کانی شناسی و باقی بسیار بالا قرار دارند که می‌توانند نشان دهنده رسویگذاری در یک مطالعه ساحلی پر انرژی باشند (شکل ۴-G و H). بر روی این ماسه‌سنگ‌ها با یک سطح فرسایشی از نوع افق خاک قدیمی، آهک‌های نسبت داده به سازند میلا قرار می‌گیرند. الگوی بایمداد دو قطبی به دست آمده از تحلیل جهت جریان دیرینه، در بخش‌های ماسه‌سنگی در کل سازند (به استثنای ماسه‌سنگ‌های بالای سازند که به عمل پوشیده بودن با واریزه‌های شیلی ساختمان رسوی در آنها دیده نگردید) نشان دهنده حرکت رفت و برگشتی آب، در محیط ساحل و فلات دریایی کم ژرفای است (Tucker, 2001).

طی مطالعات صورت گرفته بر روی سازند لالون، لاسمی (۱۳۷۹)، بخش‌های پایینی سازند لالون را به یک محیط رودخانه مثاندری، بخش میانی آن را به طور عمده به یک رودخانه مثاندری تا محیط دلتایی / ساحلی و کوارتز آرنايت‌های بخش بالای این سازند را به یک محیط ساحلی نسبت می‌دهد. مطالعاتی که توسط لاسمی و امین رسولی (۱۳۸۲) بر روی محیط رسوی بخش‌های بالای سازند لالون در ناحیه تویه دروار (جنوب باخته دامغان) انجام شده است نیز گوای رسویگذاری این بخش در یک سکو نوع رمپ / خلیج دهانه‌ای می‌باشد. از طرف دیگر، مطالعات صورت گرفته توسط موسوی‌حرمی و همکاران (۱۳۸۷) بر روی سازند لالون در خاور و جنوب خاور زرند کرمان، نشان دهنده رسویگذاری این سازند در محیط رسوی رودخانه‌ای، از نوع پر پیچ و خم با بستر ماسه‌ای است. همچنین، نتایج به دست آمده از بررسی رخساره‌های سنگی سازند لالون در برش باهمو (مطالعه اخیر)، حاکی از رسویگذاری سازند لالون در محیط پهنه کشندی، با ساحلی در امتداد شمال خاور-جنوب باخته می‌باشد. بدین ترتیب، به نظر می‌رسد که حوضه نهشت سازند لالون در ایران مرکزی، حوضه‌ای تحت کنترل فاکتورهای تخریبی بوده که از رودخانه تا کم‌ژرفای دریا را شامل می‌شود و تغییرات جانی (spatial) را در ویژگی‌های خود از مکانی به مکان دیگر نشان می‌دهد. به عقیده لاسمی (۱۳۷۹) نیز توالی رسوی سازند لالون در کل بخشی از یک ابر توالی است که از جایگیری زیر محیط‌های گوناگون ساحلی / دلتایی، رودخانه مثاندری و پلایایی بر روی یکدیگر پیدا شده آمده‌اند و نمایانگر پیشروی دریا در انتهای کامبرین پیشین است.

می‌توان این فرض را نیز مطرح نمود که طی فرایندهای کششی حوضه ایران مرکزی در این محدوده زمانی، حوضه‌های کافی مجزای از هم (مانند pull-apart basin) در ایران مرکزی تشکیل شده است و نهشت سازند لالون در برش باهمو نیز می‌تواند حاصل رسویگذاری در یکی از این حوضه‌های جدا از هم باشد. با توجه به جایگاه زمین‌شناسی برش مورد مطالعه در بلوک پشت بادام (که پدیده کافی شدن از ویژگی‌های آن است) (آقانباتی، ۱۳۸۵) و با توجه به وجود شاهدی چون ریولیت و توف همراه با نهشت‌های پر کامبرین پسین و کامبرین پیشین در منطقه مورد مطالعه که نشان دهنده حضور فعالیت‌های آتش‌شانی در این ایام است، این طور به نظر می‌رسد که برش مورد مطالعه از سازند لالون تحت تأثیر پدیده کافی شدن (Riftogenic) در طی کامبرین پیشین بوده است. مطالعه بر روی خاستگاه زمین‌ساختی ماسه‌سنگ‌های لالون در برش باهمو نیز وجود یک کافت درون قاره‌ای در ناحیه منشأ این رسویات را تأیید می‌کند (اعتماد‌سعید و همکاران، ۱۳۸۶؛ اعتماد‌سعید، ۱۳۸۷). با این حال قطعیت این فرضیه، مطالعات تکمیلی مربوط به خود را می‌طلبد.


 شکل ۱- موقعیت برش مورد مطالعه بر روی نقشه زمین‌شناسی (سهیلی و مهدوی، ۱۳۷۰).^۱

 شکل ۲- ستون چینه‌شناسی سازند لالون در برش باهمو به همراه رخسارهای سنگی‌شناسی شده در آن و نتایج حاصل از مطالعه محیط رسوبی. لازم به یادآوری است، بخش‌های ماسه‌سنگی بالای برش مورد مطالعه، به علت پوشیده بودن با واریزهای شیلی بدون ساختار رسوبی و به طور کامل سفید نشان داده شده‌اند (A) کنگلومرای چرت‌دار شروع سازند، (B) محل ناپیوستگی شناسایی شده در برش مورد مطالعه: ۱- ناپیوستگی (فراسایشی) در میان لایه‌های شیلی که در تصویر C نیز به خوبی مشخص می‌باشد و ۲- ناپیوستگی از نوع افق خاک قدریمی در مرز سازندهای لالون و میلا که در تصویر D نیز دیده می‌شود. محل نمونه‌های شیلی برداشت شده برای تجزیه‌های ICP-MS، SEM و XRD، ایستگاه‌های برداشت لایه‌بندی‌های مورب به منظور تعیین جهت جریان دیرینه، نیز بر روی این برش نشان داده شده‌اند.^۲

مطالعات سنگ‌شناسی به همراه تحلیل جهت جریان دیرینه، سازند لالون در برش مورد مطالعه به محیط رسوبی پهنه‌کشندی نسبت داده می‌شود. مطالعه رُثُوشیمیابی میزان عصر بر (B) در نمونه‌های شیلی بالای سازند لالون در برش مورد مطالعه نیز وابستگی آنها را به محیط رسوبی دریاچه نشان می‌دهد. بررسی تغییرات نسی سطح آب دریا در این نهشته‌ها حاکی از وجود دو توالی مجزا می‌باشد که مرز زیرین و بالای آنها ناپیوستگی نوع اول (SB₁) است. این بررسی در نهایت نشان دهنده پیشروی آب در انتهای کامبرین پیشین است.

سپاسگزاری

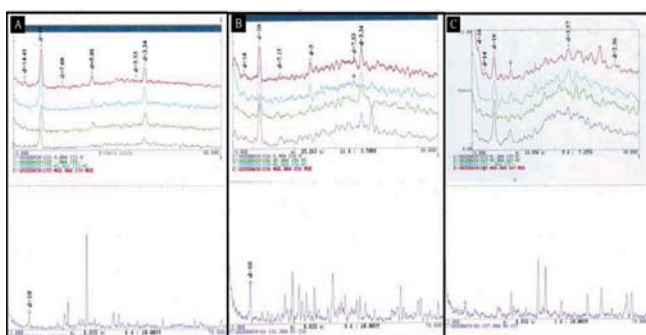
از جناب آقای دکتر هوشمندانزاده برای معرفی برش مورد مطالعه و حمایت‌ها و راهنمایی‌های ارزنده ایشان بسیار سپاسگزاریم. از سرکار خانم مهندس اسدی مهماندوستی، خانم مهندس اسلامدوست، آقای دکتر صادقیان و خانم مهندس حسن پور به دلیل کمک‌ها و همکاری‌شان در انجام مراحل صحرایی تشكر می‌نماییم. از جناب آقای دکتر علیرضایی برای کمک‌های ایشان در معرفی آزمایشگاه و ارسال نمونه‌ها به منظور انجام تجزیه رُثُوشیمیابی نمونه‌های شیلی مشکریم. از مسئولان دانشکده علوم‌زمین و آزمایشگاه‌های دانشگاه شهید بهشتی نیز برای فراهم آوردن امکانات مناسب در انجام این مطالعه نهایت تشکر را داریم. در انتها از داوران محترم که با نظرات خود به ارتقای سطح علمی این مقاله کمک نموده‌اند سپاسگزاریم.

جدول ۱- مقادیر به دست آمده از قرات ۱۱۰ امتداد و شب لایه و لایه‌بندی‌های مورب در ماسه‌سنگ‌های لالون.

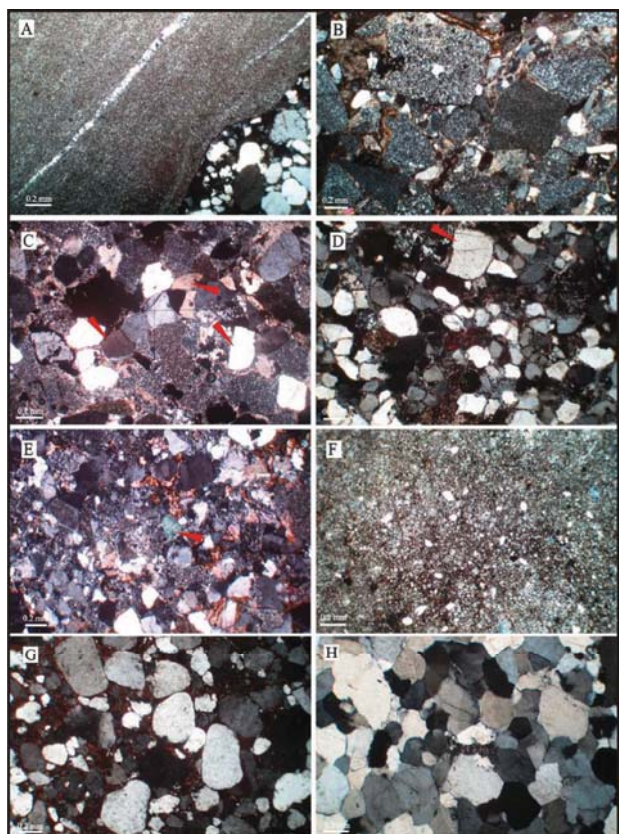
NO.	Bedding	Cross bedding	Modified cross bedding	Dip direction	NO.	Bedding	Cross bedding	Modified cross bedding	Dip direction
1	N175, 54SW	N175, 14NE N165, 21NE N167, 24SW N180, 10SW	N176, 68NE N172, 75NE N182, 30SE N174, 44NE	86 81 92 84	11	N162, 31SW	N175, 43SW N179, 21SW N174, 44SW N169, 34SW	N171, 11SW N179, 10SW N169, 13SW N168, 35SW	251 265 259 260
2	N155, 25SW	N164, 21SW N150, 21NE N152, 20NE N144, 27SW	N138, 4NE N149, 46NE N153, 44NE N88, 6SE	47 59 63 177	12	N172, 23SW	N175, 21NE N160, 21NE N162, 21NE N179, 20NE N177, 38NE	N173, 44NE N158, 42NE N161, 43NE N179, 42NE N178, 60NE	84 68 70 90 87
3	N174, 20SW	N170, 24SW N179, 24SW N168, 22SW N177, 28SW N145, 30SW N158, 32SW	N170, 2SW N179, 4NW N168, 2SW N177, 4SW N146, 10SW N160, 12SW	260 285 257 268 242 250	13	N165, 24SW	N143, 32SW N133, 7SW N145, 25SW N136, 31SW N162, 24SW N155, 49NE N135, 35NE N144, 72NE N121, 54NE N147, 29NE N140, 53NE N167, 25NE	N146, 10SW N138, 6SW N146, 15SW N140, 10SW N162, 05SW N144, 72NE N121, 54NE N147, 29NE N169, 49NE	237 228 238 231 252 54 31 50 79
4	N177, 21SW	N175, 24SW N159, 22SW N176, 22SW N167, 23SW N157, 31SW N166, 32NE N177, 24NE N158, 24NE N159, 26NE N168, 13NE	N176, 3SW N158, 1SW N176, 1SW N167, 2SW N157, 11SW N161, 53NE N167, 47NE N152, 44NE N152, 44NE N166, 34NE	264 260 265 258 250 72 77 62 52 76	14	N169, 26SW	N160, 31NE N160, 15SE N160, 10SE N140, 12SE	N154, 58NE N166, 12NE N178, 25NE N197, 12SE	65 75 87 117
5	N167, 23SW	N180, 39SW N166, 34SW N163, 35SW N162, 29SW N174, 31SW	N178, 16SW N167, 12SW N161, 12SW N162, 6SW N174, 31SW	267 255 252 252 264	15	N168, 22SW	N290, 22SW N220, 27SW N210, 21SW N260, 22SW	N116, 10SW N49, 32SE N38, 36SE N88, 19SE	205 138 129 180
6	N176, 32SW	N154, 39SW N163, 31SW N144, 44SW N162, 50SW	N160, 8SW N177, 19SW N152, 15SW N170, 18SW	249 257 243 255	16	N159, 27SW	N168, 14NE N170, 10NE N175, 20NE	N168, 42NE N175, 36NE N175, 25SW	76 79 256
7	N166, 32SW	N166, 51NE N174, 54NE N164, 46NE	N169, 83NE N26, 84NE N160, 78NE	78 116 70	17	N170, 31SW	N165, 32SW N179, 25SW N160, 49SW N165, 33SW	N167, 1SW N170, 1SW N160, 19SW N165, 35SW	258 260 254 252
8	N179, 33SW	N130, 18NE N156, 14NE N154, 22SW N106, 22SW	N117, 37NE N148, 40NE N21, 8SE N115, 8SW	27 58 110 204	18	N168, 27SW	N175, 32NE N167, 42NE N165, 33NE N164, 30NE	N144, 58NE N168, 68NE N164, 61NE N163, 61NE	86 77 72 72
9	N175, 28SW	N165, 37NE N145, 10NE N172, 36NE	N158, 63NE N139, 32NE N165, 64NE N151, 44NE	68 50 76 61	19	N150, 33SW	N175, 37SW N177, 30NE N160, 40NE	N170, 6SW N176, 56SE N176, 70NE	259 104 86
10	N176, 38SW	N170, 42NE N163, 46NE N164, 45NE	N171, 79NE N157, 84NE N163, 83NE	79 69 72	20	N167, 24SW	N135, 17SW N145, 23SW N145, 24SW	N197, 4SE N187, 2SE N187, 2SE	106 96 96



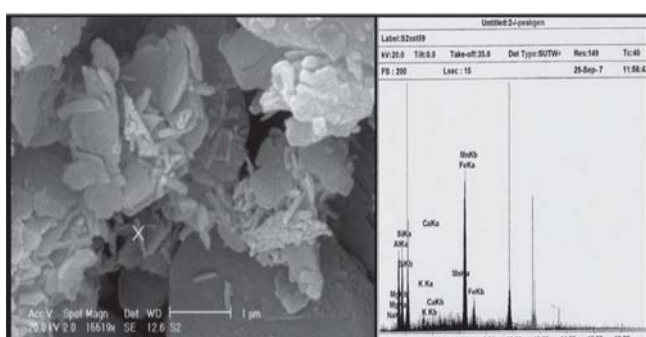
شکل ۳- رخسارهای به دست آمده برای سازند لالون در برش مورد مطالعه. (A) رخساره گراولی دانه پشتیبان توده‌ای (Gm) در مجاورت رخساره ماسه‌سنگی با لایه‌بندی موازی (Sh); (B) رخساره گراولی دانه پشتیبان توده‌ای (Gm) در زیر ماسه‌سنگ‌های سفید رنگ رأس سازند؛ (C) رخساره ماسه‌سنگی با طبقه‌بندی مورب مسطح (Sp). این رخساره در تصویر D به صورت لایه‌بندی مورب درهم دیده می‌شود؛ (E) رخساره ماسه‌سنگی با طبقه‌بندی مورب عدسي (St)؛ (F) رخساره ماسه‌سنگی با طبقات موازی (Sh)؛ (G) رخساره سیلتی دارای ریز لایه‌بندی (Fl)؛ (H) رخساره گلکی دارای ریز لایه‌بندی (Fl)؛ (I) رخساره دولومیتی بر روی سطح ناپوستنگی بالای سازند، در میان لایه‌های شیلی.



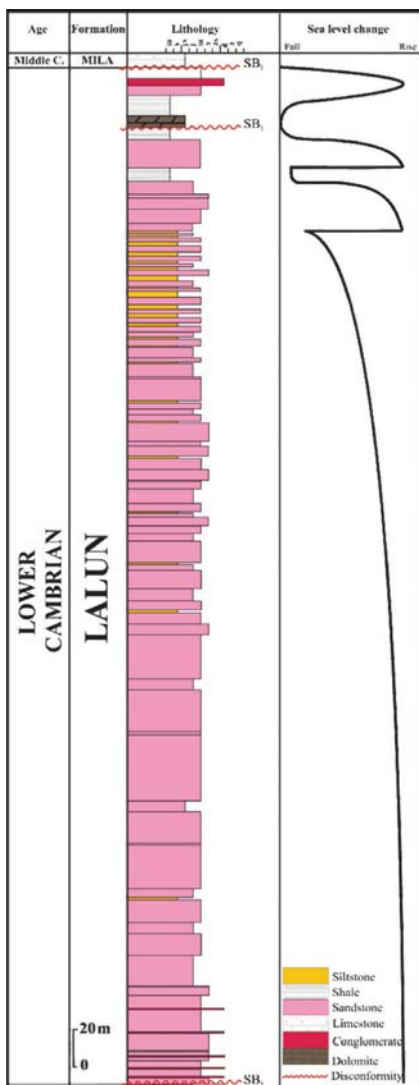
شکل ۵- نتایج حاصل از تجزیه XRD بر روی ۳ نمونه شیلی از سازند لالون در برش باهمو. تصویر A مربوط به نمونه شیلی زیر سطح فرسایشی و تصاویر B و C مربوط به شیل‌های بالای سطح فرسایشی است. ایلیت، کانی رسی اصلی این ۳ نمونه شیلی است.



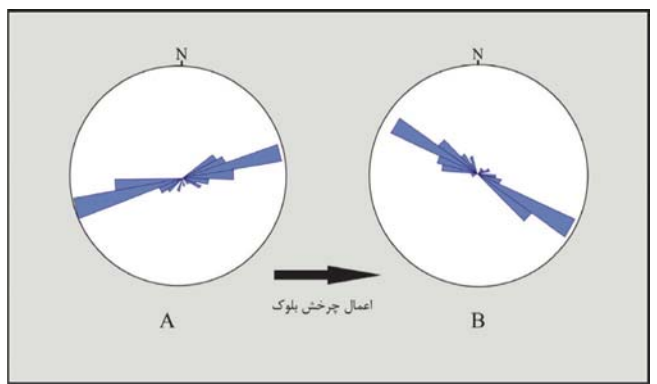
شکل ۶- در مطالعات میکروسکوپ الکترونی بر روی نمونه‌های شیلی مورد مطالعه، تنها ساختار کانی رسی کلریت دیده می‌شود. تجزیه EDX در محل ضربدر، این شناسایی را تأیید می‌کند.



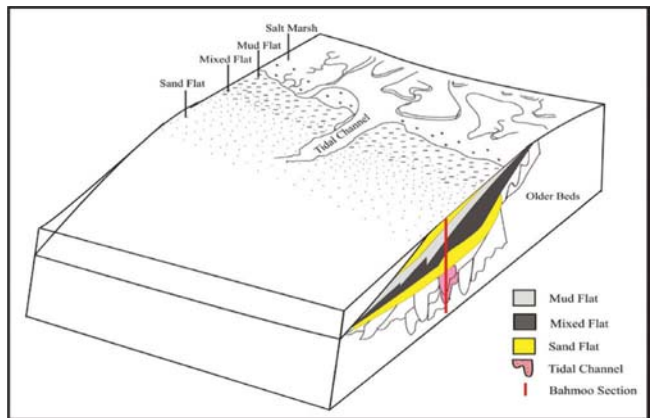
شکل ۷- در مطالعات میکروسکوپ الکترونی بر روی نمونه‌های شیلی مورد مطالعه، تنها ساختار کانی رسی کلریت دیده می‌شود. تجزیه EDX در محل ضربدر، این شناسایی را تأیید می‌کند.



شکل ۹- نمایش تغییرات سطح آب در زمان رسویگذاری سازند لالون در برش باهمو



شکل ۷- الگوی جهت جریان دیرینه به دست آمده از قرائت ۱۱۰ شب و امتداد لایبندی و لایبندی مورب، (A) پیش از اعمال چرخش بلوك و (B) پس از اعمال چرخش بلوك ایران مرکزی.



شکل ۸- مدل رسوی پیشنهادی برای سازند لالون در برش باهمو (ستون سرخ رنگ برش مورد مطالعه را نشان می دهد و شب و حوضه بدون مقیاس رسم شده است).

كتابنگاري

- آدابي، م، ح، ۱۳۸۳- ژئوشيمى رسوبي. انتشارات آرين زمين، ۴۴۸ ص.
- آقانباتي، ع، ۱۳۸۵- زمين شناسى ايران. سازمان زمين شناسى و اكتشافات معدنى کشور، ۵۸۶ ص.
- اعتمادسعيد، ن، ۱۳۸۷- سنگ شناسى و محیط رسوبي سازند لالون در برش باهمو، اسفوردي، يزد. پيان نامه کارشناسي ارشد، دانشگاه شهيد بهشتى، ۱۸۶ ص.
- اعتمادسعيد، ن، حسیني برزى، م، اسدی مهماندوستي، ا، ۱۳۸۶- محیط رسوبي و برخاستگاه زمين ساختى سازند لالون در مقطع باهمو، ايران مرکزى. چكیده مقالات بىست و ششمین گردهمايى علوم زمين، سازمان زمين شناسى و اكتشافات معدنى کشور، ۸۴-۸۳.
- حسیني برزى، م، ۱۳۷۵- بررسى برخاستگاه زمين ساختى ماسه سنگ لالون در مقطع نمونه، پيان نامه کارشناسي ارشد، دانشگاه تهران، ۱۱۲ ص.
- حسیني طباطبائي، و، ۱۳۸۷- ديازتر و محیط رسوبي سازند لالون در دو برش شور گل و مسکين در اروميه، آذربایجان غربى. پيان نامه کارشناسي ارشد، دانشگاه شهيد بهشتى، ۹۴ ص.
- سهيلى، م، مهدوي، م، ۱۳۷۰- نقشه زمين شناسى اسفوردي، مقیاس ۱:۱۰۰۰۰. سازمان زمين شناسى کشور.
- لامسى، ی، ۱۳۷۹- رخسارهها، محیط های رسوبي و چينه نگارى توالى نهشته سنگ های پر کامبرين بالايی و پالتو زويك ايران. سازمان زمين شناسى و اكتشافات معدنى کشور، شماره ۷۷، ۱۸۰ ص.
- لامسى، ی، امين رسولي، ۵، ۱۳۸۱- ناپيوستگى فرسايشى در بالاي کوارتزيت بالايی سازند لالون: گواهی بر اين که کوارتزيت بالايی واحد کوارتزيت پاينى سازند ميلا نىست. مجموعه مقالات بىست و يكمين گردهمايى علوم زمين، ص. ۵۳۳.
- لامسى، ی، امين رسولي، ۵، ۱۳۸۲- چينه نگارى توالى واحد های شيلی و کوارتزيت بالايی سازند لالون در ناحيه تویه- دروار (جنوب باختري دامغان). فصلنامه علوم زمين، سازمان زمين شناسى و اكتشافات معدنى کشور، ۴۸-۶۷.
- لامسى، ی، امين رسولي، ۵، ۱۳۸۵- ناپيوستگى جهانى روی کوارتزيت بالايی سازند لالون (مرز کامبرين زيرين و ميانى): گواهی بر اين که کوارتزيت بالايی کوارتزيت پايه ی سازند ميلا نىست. فصلنامه علوم زمين، سازمان زمين شناسى و اكتشافات معدنى کشور، ۱۲۷-۱۳۹.

محبوبی، ا.، خردمند، ع.، رحیمی، ب.، موسوی حرمی، ر.، زند مقدم، ح.، حیدری، ا.، ۱۳۸۶- منشا و موقعیت زمین‌ساختی نهشته‌های سیلیسی آواری سازند داهو (کامبرین پیشین) در حوالی زرند کرمان. یازدهمین همایش انجمن زمین‌شناسی ایران.

موسوی حرمی، ر.، ۱۳۸۶- رسوب‌شناسی. چاپ یازدهم، انتشارات آستان قدس رضوی، ۴۷۴ ص.

موسوی حرمی، ر.، محبوبی، ا.، خردمند، ع.، زند مقدم، ح.، ۱۳۸۷- تجزیه رخسارهای سنگی و سیکل‌های به طرف بالا ریز شونده در نهشته‌های سیلیسی آواری سازند داهو (کامبرین پیشین)، واقع در خاور و جنوب خاور زرند، شمال باختر کرمان، فصلنامه زمین‌شناسی ایران، ۶: ۷۱-۸۵.

References

- Asereto, R., 1963- The Paleozoic formations in central Alborz Iran. *Riv. Ital., Paleontology*, 6, 503-543.
- Catuneanu, O., 2006- Principles of sequence stratigraphy. Elsevier, 375 p.
- Chamley, H., 1989- Clay sedimentology: Springer Verlag Berlin, Heidelberg, 623 p.
- Coe, A. L., (Ed.) 2003- The Sedimentary record of sea-level change. Cambridge University Press., 288 p.
- Cotton, F. A., Wilkinson, G., Murillo, C.A., Bochmann, M., 2003- Advanced inorganic chemistry. New York., 1355 p.
- Dickson, J. A. D., 1965- A modified staining technique for carbonates in thin section: *Nature.*, v. 205, p. 587.
- Einsele, G., 2000- Sedimentary Basin: Evolution, Facies and Sediment Budget (2th ed), Springer Verlag, 292 p.
- Folk, R. L., 1980- Petrology of sedimentary rocks. Hemphill, Austin, Texas, 159 p.
- Grassman, R. B., Milet, J. C., 1961- Carbonate removal from soils by a modification of the acetate buffer method: *Journal of Soil.*, 25, 325-326.
- Haq, B. U., 1991- Sequence stratigraphy, sea-level change and significance for the deep sea. In *Sedimentation, Tectonics and Eustasy* (D. I. M. Mac Donald, Ed.), pp. 3-39. International Association of Sedimentologists Special Publication 12.
- Hardy, R. and Tucker, M. E., 1988- X-ray powder diffraction of sediments. In Tucker, M. E., eds., Techniques sedimentology. Blackwell, London. 349 p.
- Harms, J. C., Southard, J. B., Walker, R. G., 1982- Structures and Sequence in Clastic Rock. SEPM, Short Course., 1, 55.
- Johnson, H. D. and Baldwin, C. T., 1996- Shallow clastic seas, in Reading, H. G., eds., Sedimentary Environment. Third ed., Blackwell, Oxford, 232-281.
- Kolodny, Y., Chaussidon, M., Katz, A., 2005- Geochemistry of a chert breccia, *Geochemica et Cosmochimica Acta.*, 69, 427-439.
- Kunze, C. W., 1965- Pretreatment for mineralogical analysis, in: Method of soil analysis, Black C. A et al. Amer. Soc. of Agronomy mc. 651-675.
- Lobo, C. P. Osbrone, R. H., 1976- Petrology of the Late Precambrin- Cambrian sandstones in the eastern Mojave Desert southeastern California. *Journal Sed. Petrol.*, 46, 829- 846.
- Mehra, O. P., Jackson, M. L., 1960- Iron oxid removal from soils and clay by a dithionitic–citrate system buffered with bicarbonate. *Journal of Clays and Clay Mineral.*, 7, p. 313-325.
- Meunier, A., 2005- Clay: Springer Verlag Berlin Heidelberg, 427 p.
- Miall, A. D., 1996- The Geology of Fluvial deposits: Sedimentary Facies, Basin Analysis and Petroleum Geology. Springer-Verlag, New York, 582p.
- Miall, A. D., 1997- The Geology of stratigraphic sequences. Springer Verlag, 443p.
- Miall, A. D., 2000- Principles of sedimentary basin analysis. Springer Verlag, 616 p.
- Orton, G. J., and Reading, H. G., 1993- Variability of deltaic processes in terms of sediment supply, with particular emphasis on grain size. *Sedimentology*, 40, 475-512.
- Pettijohn, F. J., 1975- Sedimentary Rocks. Harper and Row. New York., 628 p.
- Potter, P. E., Pettijohn, F. J., 1975- Paleocurrents and basin analysis: 2th ed., Springer- Verlag, 425 p.
- Reading, H. G. and Collinson, J. D., 1996- Clastic coasts, in Reading, H. G., eds., Sedimentary Environment. Third ed., Blackwell, Oxford, 154-232.
- Reinson, G. E., 1984- Barrier island and associated strand- plain systems. In: R.G. Walker (ed.), Facies Models, 2nd ed., Geo Science Canada., 119-141.
- Schmidt, K., Soffel, H., 1983- Mesozoic- Cenozoic geological event in central- east Iran and their relation to paleomagnetic result. Minstry of Mines and Metals Geological Survey of Iran., report no. 51, 27- 35.
- Selley, R. C., 1996 - Ancient sedimentary environments. 4th ed., Chapman & Hall, London, 300 p.
- Sibley, D. F., Gregg, J. M., 1987- Classification of dolomite rock texture: *Journal of Sedimentary Petrology*, 57, 967-97.
- Tucker, M. E., 1993- Sedimentary rocks in the field. Wiley Pub, 2th ed. 153 p.
- Tucker, M. E., 2001- Sedimentary petrology: an introduction to the origin of sedimentary rocks: Blackwell, Scientific Publication, London, 260 p.
- Weaver, C. E., 1989- Clays, muds, and shales: Development in Sedimentology, Elsevier, Scientific Publication, 819 p.

Keywords : Doruneh fault, Displacement, Geology

For Persian Version see pages 57 to 62

*Corresponding author: H. Amini; E-mail: ese_Amini@yahoo.Com

Lithofacies, Depositional Environment and Relative Sea Level Changes in Deposits Attributed to Lalun Formation in Bahmoo Section, Poshte Badam Block

M. Hosseini-Barzi^{1*} & N. Etemad Saeed¹

¹Department of Geology, Faculty of Earth Sciences, University of Shahid Beheshti, Tehran, Iran.

Received: 2008 September 15

Accepted: 2009 February 23

Abstract

The Early Cambrian Lalun Formation in Poshte-Badam block has been studied in Bahmoo section with 550 m thickness, to illuminate its sedimentary environment and sea level changes. The field investigations, collection of 110 paleocurrent data, petrography, study of SEM images and XRD analysis of shale samples have been used for facies analysis, paleocurrent recognition and sedimentary environment reconstruction. The facies analyses imply 5 siliciclastic coarse grained (Gm), medium grained (Sp, St, Sh) and fine grained (Fl) lithofacies and 1 carbonate (dolomite) microfacies. The lithofacies, bipolar bimodal paleocurrent pattern and petrographic evidences such as the existence of glauconitic sandstones with high textural and compositional maturity imply deposition of these sediments in a Tidal Flat environment. Studying the relative sea level changes of Lalun deposits in this area imply two sequences which have been bounded between SB1 unconformities.

Key Words: Lalun Formation, Lithofacies, Paleocurrent, Relative sea level changes

For Persian Version see pages 63 to 70

*Corresponding author: M. Hosseini-Barzi; E-mail: m_hosseini@sbu.ac.ir

Detecting Potential Seepage Paths in Bakhtyari Dam Site using Seismic Tomography

Y. Sharghi^{1*}, F. Alinia² & H. R. Siahkoohi³

¹Mining Engineering Department, Sahand University of Technology, Tabriz, Iran

²Mining Engineering Department, Amirkabir University of Technology, Tehran, Iran

³Institute of Geophysics, Tehran University, Tehran, Iran

Received: 2008 August 02 Accepted: 2009 March 01

Abstract

Seismic travel time tomography uses seismic waves to image velocity distribution inside the ground. This method has been widely applied to practical applications in many fields including earth sciences. In this method, first-arrival times of seismic waves due to artificial sources, observed at receivers in the vicinity of the exploration target are analyzed to obtain the velocity distribution within the propagation area. This paper describes the seismic tomography investigation performed at the abutments of Bakhtyari Dam site. The study aimed to find the low-velocity zones that may correspond to jointed media where seepage most likely happens. We performed 3-D tomographic inversion on Bakhtiari dam seismic data. To perform ray tracing and travel-time computation at each iteration, we used Um and Thurber (1987) method and for inversion step we used SIRT method. In most of the tomograms, average velocity was 3km/s. According to the Barton relation (2006) the seepage potential in dam sit abutments, is low. A low velocity zone has been detected above the 690 m level in right abutment. It shows that the weak zones extended from surface down to this level. Despite the presence of some weak zones, the rock mass quality is good, and the design of the grout curtain could help to bypass the reservoir water away from these seepage paths